

Interpretación de radiografías

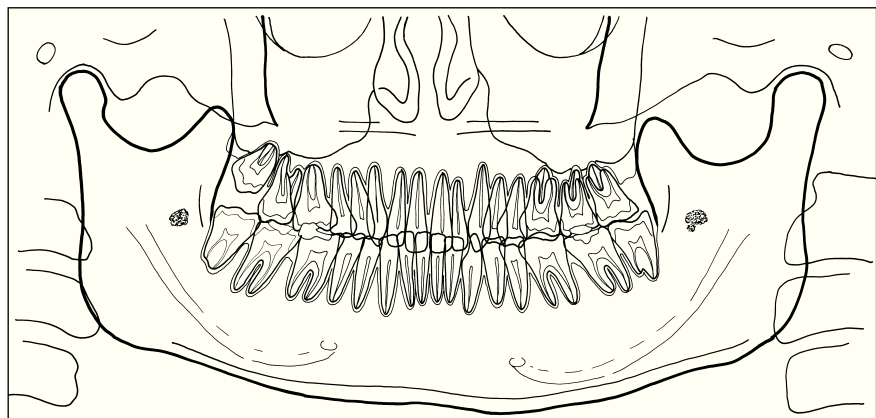
Jürgen Düker, Prof. Dr. med. Dr. med. dent.

(*Quintessenz*. 2005;56(9 y 10):939 y 1069)

Caso 1, varón, 31 años

Calcificaciones en las amígdalas

Como hallazgo secundario, en la radiografía panorámica (figs. 1a y b) se aprecian opacidades en ambas ramas ascendentes. Las radiografías de detalle frontales confirmarán la sospecha de efectos de superposición (figs. 2 y 3). Las calcificaciones del tejido blando se sitúan en la región medial de la rama ascendente. Conjuntamente con el diagnóstico clínico, dichas calcificaciones pueden interpretarse como calcificaciones en amigdalitis crónica (amigdalolitos).



Correspondencia: Jürgen Düker.
Clínica Universitaria Odontológica. Departamento de Radiología.
Hugstetter Strasse 55, 79106 Friburgo. Alemania.

Figuras 1a y b. Radiografía panorámica con diente 18 retenido. Como hallazgo secundario se aprecian calcificaciones bilaterales proyectadas sobre las ramas ascendentes.



Figura 2. Radiografía de detalle frontal de la región faríngea derecha: varias calcificaciones en la región amigdalina.

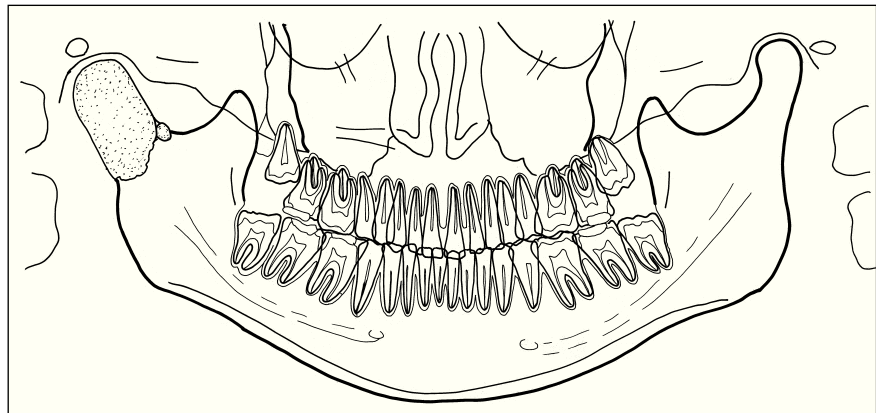


Figura 3. Radiografía de detalle frontal de la región faríngea izquierda: varias calcificaciones en la región amigdalina.

Caso 2, mujer, 23 años

Granuloma reparativo de células gigantes del cóndilo articular derecho de la mandíbula

La paciente presentaba dolor en la articulación temporomandibular derecha. Se realizó una radiografía panorámica (figs. 1a y b) que mostró destrucción ósea con afectación global del cóndilo mandibular derecho. La reconstrucción



Figuras 1a y b. La radiografía panorámica muestra una marcada asimetría de los cóndilos mandibulares. El cóndilo derecho está hinchado y sólo presenta estructuras óseas en la periferia.

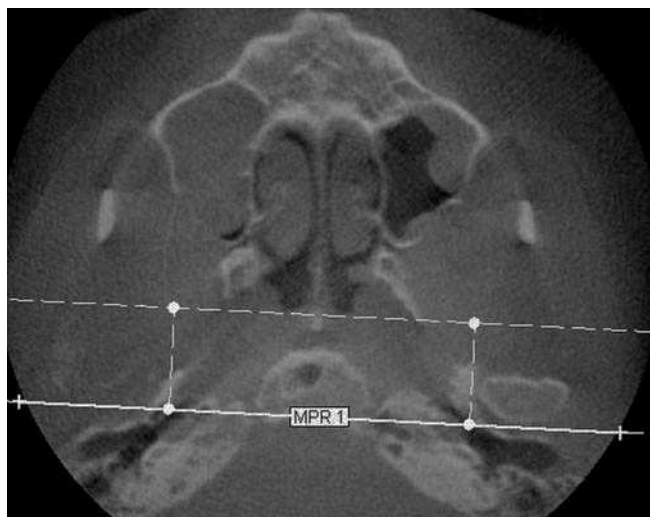


Figura 2. Tomografía volumétrica digital con reconstrucción axial a nivel de las articulaciones temporomandibulares. En el lado izquierdo se aprecia un cóndilo mandibular normal. En el lado derecho únicamente se aprecian discretas estructuras óseas. El contorno en su conjunto aparece aumentado. El cuadro blanco muestra el ancho de corte en la reconstrucción frontal de la figura 3.



Figura 3. Tomografía volumétrica digital con reconstrucción frontal a nivel de las ATM. Al comparar la simetría se aprecia la destrucción y deformación del cóndilo mandibular derecho.

axial y frontal confirma y complementa el hallazgo de la tomografía volumétrica digital (figs. 2 y 3). El examen histológico de la biopsia reveló un granuloma reparativo de células gigantes.